

IV-217

人工衛星情報による河川流量算定 手法について

関西電力㈱ 正員 村上英博 正員 藤田勝己
㈱新日本技術コンサルタント 正員 杉木 清

1. 目的

水力発電所やダム等、河川における開発計画の策定において流量資料は、規模の決定・経済性等の検討にはなくてはならない資料である。しかしながら、計画地点に測水所がなく、適切な流量資料が得られない場合が多い。このため、通常は、流域面積の大小や他の水系にもかかわらず、既存の測水所流量資料から、流域面積比により換算して、算定しているのが一般的である。

本研究は、既存の流量資料と、公表されているランドサット衛星データの相関性について分析し、人工衛星情報により、流量資料のない河川の流量を、適切に算定する手法について検討したものである。

2. 使用したデータ

木曾川水系の上流部をモデル河川とした。ランドサット情報は、1977年から1986年までの10ヶ年のうち豊水年(1979年)、渴水年(1986年)を選定し、画像解析に適した6シーンを抽出した。ランドサットのMSSデータは、4つの波長帯からなるが、本研究では土地被覆状態・気象条件等を比較的よく反映するといわれる指標NVI (Normalized Vegetation Index : [Band7-Band5]/[Band7+Band5]) を使用した。

地上の水文情報は、既存の測水所および、人為的な影響がなく自然流量の算出が可能な地点から、5地点を選定し、10ヶ年の流量データを使用した。表-1に各地点の比流量を示す。

表-1 比流量一覧表 (1977-1986 10ヶ年平均)

| 地点名 | 流域面積 (Km ²) | 比流量 (m ³ /s/100Km ²) | | | | | | |
|-----|----------------------------|---|-------|-------|------|------|------|------|
| | | 最大 | 3日 | 豊水 | 平水 | 低水 | 渴水 | 最小 |
| A地点 | 63.5 | 61.04 | 8.82 | 4.94 | 3.49 | 2.71 | 2.19 | 2.12 |
| B地点 | 73.0 | 57.86 | 12.45 | 6.62 | 3.89 | 2.72 | 1.87 | 1.62 |
| C地点 | 114.2 | 151.32 | 21.73 | 10.06 | 5.81 | 3.36 | 1.83 | 0.69 |
| D地点 | 553.7 | 102.69 | 16.32 | 7.87 | 4.74 | 3.09 | 1.96 | 1.54 |
| E地点 | 578.9 | 102.96 | 15.92 | 8.19 | 5.02 | 3.39 | 2.20 | 1.57 |

3. 衛星情報と水文情報の相関関係

衛星情報から得られた、各シーンの流域別の平均NVI(表-2)と、地上で得られた、10ヶ年平均の各流域における比流量(表-1)との相関関係を調査した結果、図-1、表-3に示すとおりどのシーンにおいても高い相関が得られた。

これは、NVIは、既存の流量資料から、流域面積比換算する場合に、補正係数としての適用が可能である事を、意味するものと考えられる。

渴水量の相関が低いのは、NVIにかかわらず各地点の比流量がほぼ一定であるためである。

4. 補正係数

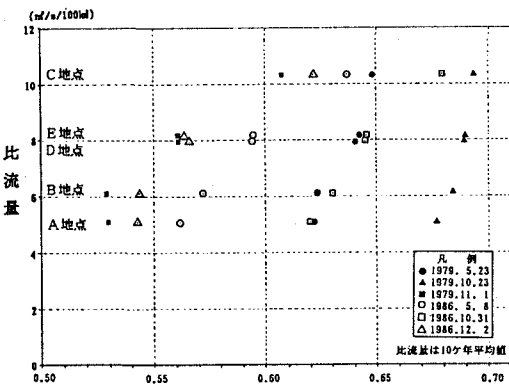
流量の流域面積比換算および補正係数は、次式によるものとした。

$$Q(n) = Q(k) \times \frac{CA(n)}{CA(k)} \times \alpha$$

表-2 流域平均のNVI

| 撮影日 | 1979年 | | | 1986年 | | |
|-----|-------|-------|--------|-------|-------|-------|
| | 05.23 | 10.23 | *11.01 | 05.08 | 10.31 | 12.02 |
| A地点 | 0.622 | 0.677 | 0.530 | 0.562 | 0.620 | 0.543 |
| B地点 | 0.623 | 0.684 | 0.529 | 0.572 | 0.630 | 0.544 |
| C地点 | 0.648 | 0.693 | 0.607 | 0.637 | 0.679 | 0.621 |
| D地点 | 0.640 | 0.689 | 0.561 | 0.594 | 0.645 | 0.566 |
| E地点 | 0.642 | 0.689 | 0.561 | 0.594 | 0.645 | 0.563 |

*1979.10.28御獄山噴火の影響有り



N VI [Band7-Band5]/[Band7+Band5]
図-1 シーン別N VIと平均比流量散布図

ここに Q = 流量
 C_A = 流域面積
 (n) = 求めようとする地点
 (k) = 既存の地点
 $\alpha = \text{補正係数} = \frac{a + b \times NVI(n)}{a + b \times NVI(k)}$
 $a \cdot b = \text{回帰式から求めた定数}$

補正係数は、各シーンについて NVI と、

各流況の比流量との回帰式により求めた。

表-2 に示したシーンの中の、1979年5月23

日の回帰式は、下記のとおりである。

(回帰式) (a) (b)

$$\text{年平均比流量} = -97.50 + 165.41 \times NVI$$

$$35\text{日比流量} = -226.47 + 380.34 \times NVI$$

$$\text{豊水比流量} = -88.17 + 150.72 \times NVI$$

$$\text{平水比流量} = -43.71 + 76.11 \times NVI$$

$$\text{低水比流量} = -14.06 + 26.96 \times NVI$$

$$\text{渴水比流量} = 4.20 + -3.45 \times NVI$$

次に、NVI から求めた補正係数により、

各地点の流出量を算定した結果、表-4 の

とおり、実測値と算定値は比較的よく一致

した。

さらに、回帰式によって得ら

れた結果を用いて、流況曲線を

推定し、NVI により算定した

流量資料がどの程度実測値に近

くなるか、単純に流域面積比換

算した場合と、補正係数を使用

した場合とについて比較した。

流況曲線の推定は、年平均流量の補正係数を年間を通して使用する方法と、回帰式の補正係数を基に得られた、35日流量、豊水量、平水量、低水量、渴水量の5つのデータを用い、指標曲線で近似する方法とについて検討した。

この結果、図-2 のように推定した流況曲線は、いずれの方法とも実測による流況曲線とほとんど一致した。

5. 研究結果

人工衛星情報と水文情報の関連性の検討により次の事が判明した。

① NVI と比流量との間には、高い相関関係が認められる。

ただし、渴水量については、高いとはいえない。

② 流量の流域面積比換算補正に、NVI を用いることは有効である。

③ 水力発電所の計画には、電力量に影響を及ぼす総流出量が問題であり、渴水量以下の影響は小さい。

④ 補正係数を求めるためには、同一水系または同一シーンに、2以上の既存流量資料が必要である。

⑤ ランドサット情報には、雨の情報がないことや、回帰周期・天候阻害等を考慮すれば、2ヶ月に1回程度の情報となり、衛星情報のみにより、日々の河川流量を算定することは難しい。

表-3 NVI と比流量の相関係数

| 撮影日 流況 | 1979年 | | | 1986年 | | |
|-----------|-------|-------|-------|-------|-------|-------|
| | 05.23 | 10.23 | 11.01 | 05.08 | 10.31 | 12.02 |
| 平均 | 0.96 | 0.80 | 0.97 | 0.98 | 0.98 | 0.93 |
| 35日 | 0.93 | 0.97 | 0.95 | 0.98 | 0.98 | 0.93 |
| 豊水 | 0.93 | 0.80 | 0.93 | 0.96 | 0.97 | 0.90 |
| 平水 | 0.97 | 0.81 | 0.96 | 0.97 | 0.96 | 0.91 |
| 低水 | 0.96 | 0.62 | 0.84 | 0.83 | 0.81 | 0.74 |
| 渴水 | -0.23 | -0.20 | -0.42 | -0.52 | -0.55 | -0.52 |

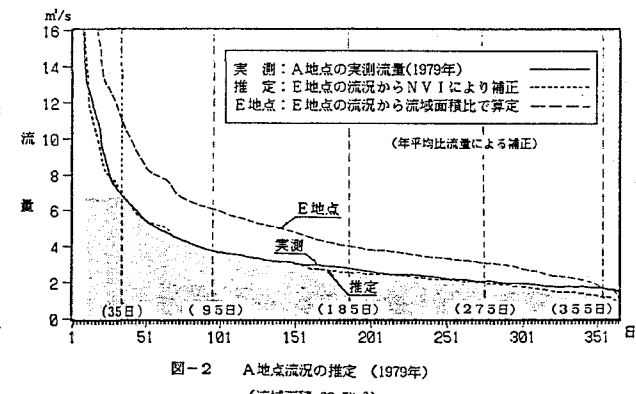


表-4 NVI による補正と実測値の比流量比較 () 内は実測値

| 地点名 | 算定(実測) 比流量 [m³/s/100km²] | | | | | 年平均 |
|-----|--------------------------|-----------|----------|----------|----------|-----------|
| | 35日流量 | 豊水量 | 平水量 | 低水量 | 渴水量 | |
| A地点 | 10.1(8.8) | 5.6(4.9) | 3.6(3.5) | 2.7(2.7) | 2.1(2.2) | 5.4(5.1) |
| B地点 | 10.5(12.5) | 5.7(6.6) | 3.7(3.9) | 2.7(2.7) | 2.1(1.9) | 5.6(6.1) |
| C地点 | 20.0(21.7) | 9.5(10.1) | 5.6(5.8) | 3.4(3.4) | 2.0(1.8) | 9.7(10.4) |
| D地点 | 16.9(16.3) | 8.3(7.9) | 5.0(4.7) | 3.2(3.1) | 2.0(2.0) | 8.4(8.0) |
| E地点 | 17.7(15.9) | 8.6(8.2) | 5.1(5.0) | 3.2(3.4) | 2.0(2.2) | 8.7(8.1) |